

# PróstaLumin<sup>®</sup>

## 18F-PSMA-1007

“A GAME CHANGER IN THE  
PROSTATE CANCER MANAGEMENT”

### Στοχεύοντας το PSMA

- ✓ Ακριβέστερη αρχική σταδιοποίηση
- ✓ Έγκαιρος εντοπισμός της υποτροπής
- ✓ Προϋπόθεση για τα Thera(g)nostics

Η εξέταση PET PSMA πλέον συνταγογραφείται

Το πρώτο εγκεκριμένο από τον ΕΟΦ φαρμακευτικό προϊόν για PET PSMA απεικόνιση.  
Η διαγνωστική εξέταση πραγματοποιείται σε κάθε Τμήμα Πυρηνικής Ιατρικής με PET/CT εξοπλισμό.  
Πριν την συνταγογράφηση της ιατρικής εξέτασης, συμβουλευτείτε την ΠΧΠ του προϊόντος.

Βοηθήστε να γίνουν τα φάρμακα πιο ασφαλή και  
Αναφέρετε  
ΟΛΕΣ τις ανεπιθύμητες ενέργειες  
για ΟΛΑ τα φάρμακα  
Συμπληρώνοντας την “ΚΙΤΡΙΝΗ ΚΑΡΤΑ”



BIOKOSMOS A.E.B.E. | ΠΑΡΑΓΩΓΗ ΡΑΔΙΟΦΑΡΜΑΚΩΝ  
Έδρα - Μονάδα Παραγωγής Λαυρίου: Θέση Πάνορμος, 19500 Λαύριο  
Μονάδα Παραγωγής Λακκώματος: Λάκκωμα, 63080 Ν. Καλλικράτεια  
ΤΗΛ: 22920 63900 | FAX: 22920 69235  
[www.biokosmos.gr](http://www.biokosmos.gr)

**Τρόπος Διάρθρωσης:** Μόνο για νοσοκομειακή χρήση  
ή σε ιατρικά εργαστήρια με απαραίτητο εξοπλισμό.  
Μόνο από ιατρό με σχετική άδεια ή εξειδικευμένο  
προσωπικό υπό επίβλεψη πυρηνικού ιατρού.

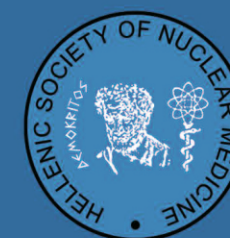
ISSN 1790-5427

# Hellenic Journal of Nuclear Medicine

Volume 27 • Number 2 • May-August 2024

Indexed/abstracted by: MEDLINE, Science Citation Index Expanded, Journal Citation Reports/Science Edition, EMBASE, Thomson-Reuters and Scopus Info and Index Copernicus.  
Listed by the International Centre for Scientific Research

The first hellenic journal of nuclear medicine



Impact factor: 1.5

**Original Articles:** Predictive value of metabolism and its heterogeneity parameters measured by pre-operative <sup>18</sup>F-FDG PET/CT for mediastinal occult lymph node metastasis in cN0 lung invasive adenocarcinoma. Z. Yang, Z. Liu et al. 78  
- The effect of reconstruction algorithms on semi-quantitative measurements in <sup>18</sup>F-FDG PET/CT imaging. F. Özülker, G. B. Babacan et al. 85  
- A head-to-head comparison of <sup>18</sup>F-FDG PET/CT and <sup>18</sup>F-FDG PET/MR in patients with nasopharyngeal carcinoma under different disease settings. M. Zhang, L. Pang et al. 93  
- Initial clinical experience using <sup>68</sup>Ga-FAPI-46 PET/CT for detecting various cancer types. H. Dadgar, N. Norouzebeigi et al. 105  
- Real-world applicability of differentiated thyroid cancer guidelines. E. Giannoula, P. Exadaktylou et al. 121  
**Review Articles:** A comparative review of the application value of FAPI PET/CT and <sup>18</sup>F-FDG PET/CT in lung cancer. R. Tang, Q. Zou et al. 131

- PET/MR co-imaging in cardiovascular diseases: Current clinical applications and future development. H. Chen, G. Zhang et al. 136  
**Research Article:** Analysis of the diagnostic value of CT radiomics models in differentiating GIST and other mesenchymal tumors. B. Du, Z. Zhu et al. 141  
**Case Report:** Differentiated thyroid cancer with osteo-granulomatous inflammation: A case report. Y. Zhihua, G. Mingzhen et al. 149  
**Images:** <sup>18</sup>F-FDG PET/CT imaging and curative effect evaluation of multiple muscular tuberculosis. H. Zhang, S. Dai 154  
- Increased <sup>68</sup>Ga-FAPI uptake in epithelioid inflammatory myofibroblastic sarcoma. H. Liu, Y. Chen 157  
- <sup>18</sup>F-FDG PET/CT image of NK/T cell lymphoma in the sacroiliac joint. L. Xiao, W. Zhang et al. 159  
- Elevated <sup>68</sup>Ga-FAPI activity in aspergillus pneumonia. Y. Liu, H. Liu et al. 161